

# Starkniederschlagshöhen und -spenden gemäß KOSTRA-DWD-2020

## Rasterfeld 129204

(Zeile 129, Spalte 204)

### Regenspende und Bemessungsniederschlagswerte in Abhängigkeit von Wiederkehrzeit T und Dauerstufe D

| Dauerstufe D |     | Wiederkehrzeit T |            |      |            |      |            |      |            |       |            |       |            |       |            |       |            |       |            |
|--------------|-----|------------------|------------|------|------------|------|------------|------|------------|-------|------------|-------|------------|-------|------------|-------|------------|-------|------------|
|              |     | 1 a              |            | 2 a  |            | 3 a  |            | 5 a  |            | 10 a  |            | 20 a  |            | 30 a  |            | 50 a  |            | 100 a |            |
| min          | Std | mm               | l / (s ha) | mm   | l / (s ha) | mm   | l / (s ha) | mm   | l / (s ha) | mm    | l / (s ha) | mm    | l / (s ha) | mm    | l / (s ha) | mm    | l / (s ha) | mm    | l / (s ha) |
| 5            |     | 6,3              | 210,0      | 8,0  | 266,7      | 9,0  | 300,0      | 10,4 | 346,7      | 12,4  | 413,3      | 14,4  | 480,0      | 15,8  | 526,7      | 17,5  | 583,3      | 20,0  | 666,7      |
| 10           |     | 8,6              | 143,3      | 10,9 | 181,7      | 12,3 | 205,0      | 14,2 | 236,7      | 16,9  | 281,7      | 19,7  | 328,3      | 21,5  | 358,3      | 23,9  | 398,3      | 27,4  | 456,7      |
| 15           |     | 10,0             | 111,1      | 12,7 | 141,1      | 14,3 | 158,9      | 16,5 | 183,3      | 19,7  | 218,9      | 23,0  | 255,6      | 25,1  | 278,9      | 27,9  | 310,0      | 31,9  | 354,4      |
| 20           |     | 11,0             | 91,7       | 14,0 | 116,7      | 15,8 | 131,7      | 18,2 | 151,7      | 21,7  | 180,8      | 25,3  | 210,8      | 27,7  | 230,8      | 30,8  | 256,7      | 35,2  | 293,3      |
| 30           |     | 12,5             | 69,4       | 15,9 | 88,3       | 18,0 | 100,0      | 20,7 | 115,0      | 24,7  | 137,2      | 28,8  | 160,0      | 31,4  | 174,4      | 34,9  | 193,9      | 40,0  | 222,2      |
| 45           |     | 14,1             | 52,2       | 17,9 | 66,3       | 20,2 | 74,8       | 23,3 | 86,3       | 27,8  | 103,0      | 32,4  | 120,0      | 35,4  | 131,1      | 39,3  | 145,6      | 45,0  | 166,7      |
| 60           | 1   | 15,3             | 42,5       | 19,4 | 53,9       | 21,9 | 60,8       | 25,3 | 70,3       | 30,1  | 83,6       | 35,1  | 97,5       | 38,3  | 106,4      | 42,6  | 118,3      | 48,7  | 135,3      |
| 90           | 1,5 | 17,0             | 31,5       | 21,6 | 40,0       | 24,4 | 45,2       | 28,2 | 52,2       | 33,5  | 62,0       | 39,1  | 72,4       | 42,7  | 79,1       | 47,5  | 88,0       | 54,3  | 100,6      |
| 120          | 2   | 18,3             | 25,4       | 23,3 | 32,4       | 26,3 | 36,5       | 30,3 | 42,1       | 36,1  | 50,1       | 42,1  | 58,5       | 46,0  | 63,9       | 51,1  | 71,0       | 58,5  | 81,3       |
| 180          | 3   | 20,3             | 18,8       | 25,8 | 23,9       | 29,2 | 27,0       | 33,6 | 31,1       | 40,0  | 37,0       | 46,7  | 43,2       | 51,0  | 47,2       | 56,7  | 52,5       | 64,8  | 60,0       |
| 240          | 4   | 21,8             | 15,1       | 27,7 | 19,2       | 31,3 | 21,7       | 36,1 | 25,1       | 43,0  | 29,9       | 50,1  | 34,8       | 54,8  | 38,1       | 60,9  | 42,3       | 69,6  | 48,3       |
| 360          | 6   | 24,1             | 11,2       | 30,6 | 14,2       | 34,6 | 16,0       | 39,9 | 18,5       | 47,6  | 22,0       | 55,4  | 25,6       | 60,6  | 28,1       | 67,3  | 31,2       | 77,0  | 35,6       |
| 540          | 9   | 26,6             | 8,2        | 33,8 | 10,4       | 38,3 | 11,8       | 44,1 | 13,6       | 52,5  | 16,2       | 61,2  | 18,9       | 66,9  | 20,6       | 74,3  | 22,9       | 85,0  | 26,2       |
| 720          | 12  | 28,6             | 6,6        | 36,3 | 8,4        | 41,0 | 9,5        | 47,3 | 10,9       | 56,3  | 13,0       | 65,6  | 15,2       | 71,7  | 16,6       | 79,7  | 18,4       | 91,1  | 21,1       |
| 1080         | 18  | 31,5             | 4,9        | 40,0 | 6,2        | 45,3 | 7,0        | 52,2 | 8,1        | 62,1  | 9,6        | 72,4  | 11,2       | 79,1  | 12,2       | 87,9  | 13,6       | 100,5 | 15,5       |
| 1440         | 24  | 33,8             | 3,9        | 42,9 | 5,0        | 48,5 | 5,6        | 55,9 | 6,5        | 66,6  | 7,7        | 77,6  | 9,0        | 84,8  | 9,8        | 94,2  | 10,9       | 107,8 | 12,5       |
| 2880         | 48  | 39,9             | 2,3        | 50,7 | 2,9        | 57,3 | 3,3        | 66,1 | 3,8        | 78,7  | 4,6        | 91,7  | 5,3        | 100,2 | 5,8        | 111,4 | 6,4        | 127,4 | 7,4        |
| 4320         | 72  | 44,0             | 1,7        | 55,8 | 2,2        | 63,2 | 2,4        | 72,8 | 2,8        | 86,7  | 3,3        | 101,1 | 3,9        | 110,5 | 4,3        | 122,8 | 4,7        | 140,4 | 5,4        |
| 5760         | 96  | 47,1             | 1,4        | 59,8 | 1,7        | 67,7 | 2,0        | 78,1 | 2,3        | 93,0  | 2,7        | 108,3 | 3,1        | 118,4 | 3,4        | 131,6 | 3,8        | 150,4 | 4,4        |
| 7200         | 120 | 49,7             | 1,2        | 63,1 | 1,5        | 71,4 | 1,7        | 82,4 | 1,9        | 98,1  | 2,3        | 114,3 | 2,6        | 124,9 | 2,9        | 138,8 | 3,2        | 158,7 | 3,7        |
| 8640         | 144 | 52,0             | 1,0        | 66,0 | 1,3        | 74,6 | 1,4        | 86,0 | 1,7        | 102,5 | 2,0        | 119,4 | 2,3        | 130,5 | 2,5        | 145,0 | 2,8        | 165,8 | 3,2        |
| 10080        | 168 | 53,9             | 0,9        | 68,5 | 1,1        | 77,5 | 1,3        | 89,3 | 1,5        | 106,3 | 1,8        | 123,9 | 2,0        | 135,4 | 2,2        | 150,5 | 2,5        | 172,1 | 2,8        |

# Starkniederschlagshöhen und -spenden gemäß KOSTRA-DWD-2020

## Rasterfeld 129204

(Zeile 129, Spalte 204)

### Örtliche Unsicherheiten in Abhängigkeit von Wiederkehrzeit T und Dauerstufe D

| Dauerstufe D |     | Wiederkehrzeit T |     |     |     |      |      |      |      |       |
|--------------|-----|------------------|-----|-----|-----|------|------|------|------|-------|
|              |     | 1 a              | 2 a | 3 a | 5 a | 10 a | 20 a | 30 a | 50 a | 100 a |
| min          | Std | ± %              | ± % | ± % | ± % | ± %  | ± %  | ± %  | ± %  | ± %   |
| 5            |     | 13               | 12  | 13  | 13  | 14   | 14   | 14   | 15   | 15    |
| 10           |     | 13               | 14  | 15  | 16  | 17   | 18   | 19   | 19   | 20    |
| 15           |     | 15               | 17  | 18  | 19  | 20   | 21   | 21   | 22   | 22    |
| 20           |     | 16               | 18  | 19  | 20  | 21   | 22   | 23   | 23   | 24    |
| 30           |     | 17               | 19  | 20  | 22  | 23   | 24   | 24   | 25   | 26    |
| 45           |     | 18               | 20  | 21  | 22  | 24   | 25   | 25   | 26   | 26    |
| 60           | 1   | 18               | 20  | 21  | 23  | 24   | 25   | 25   | 26   | 27    |
| 90           | 1,5 | 17               | 20  | 21  | 22  | 24   | 25   | 25   | 26   | 26    |
| 120          | 2   | 17               | 19  | 21  | 22  | 23   | 24   | 25   | 25   | 26    |
| 180          | 3   | 16               | 19  | 20  | 21  | 22   | 23   | 24   | 24   | 25    |
| 240          | 4   | 16               | 18  | 19  | 20  | 21   | 22   | 23   | 24   | 24    |
| 360          | 6   | 15               | 17  | 18  | 19  | 20   | 21   | 22   | 22   | 23    |
| 540          | 9   | 14               | 16  | 17  | 18  | 19   | 20   | 21   | 21   | 22    |
| 720          | 12  | 14               | 16  | 17  | 18  | 19   | 20   | 20   | 21   | 21    |
| 1080         | 18  | 14               | 15  | 16  | 17  | 18   | 19   | 19   | 20   | 20    |
| 1440         | 24  | 14               | 15  | 16  | 17  | 18   | 18   | 19   | 19   | 20    |
| 2880         | 48  | 15               | 16  | 16  | 16  | 17   | 18   | 18   | 18   | 19    |
| 4320         | 72  | 16               | 16  | 17  | 17  | 17   | 18   | 18   | 18   | 19    |
| 5760         | 96  | 17               | 17  | 17  | 17  | 18   | 18   | 18   | 18   | 19    |
| 7200         | 120 | 18               | 18  | 18  | 18  | 18   | 18   | 19   | 19   | 19    |
| 8640         | 144 | 19               | 18  | 18  | 18  | 19   | 19   | 19   | 19   | 19    |
| 10080        | 168 | 20               | 19  | 19  | 19  | 19   | 19   | 19   | 19   | 19    |

### Parameter für abweichende T und D

#### Lokationsparameter $\xi$ (Xi)

15,78955934

#### Skalenparameter $\alpha$ (Alpha)

5,9184303

#### Formparameter $\kappa$ (Kappa)

-0,1

#### 1. Koutsoyiannis-Parameter $\theta$ (Theta)

0,04458

#### 2. Koutsoyiannis-Parameter $\eta$ (Eta)

0,76014599

Parameter für dauerstufenübergreifende Extremwertschätzung nach KOUTSOYIANNIS et al. 1998.

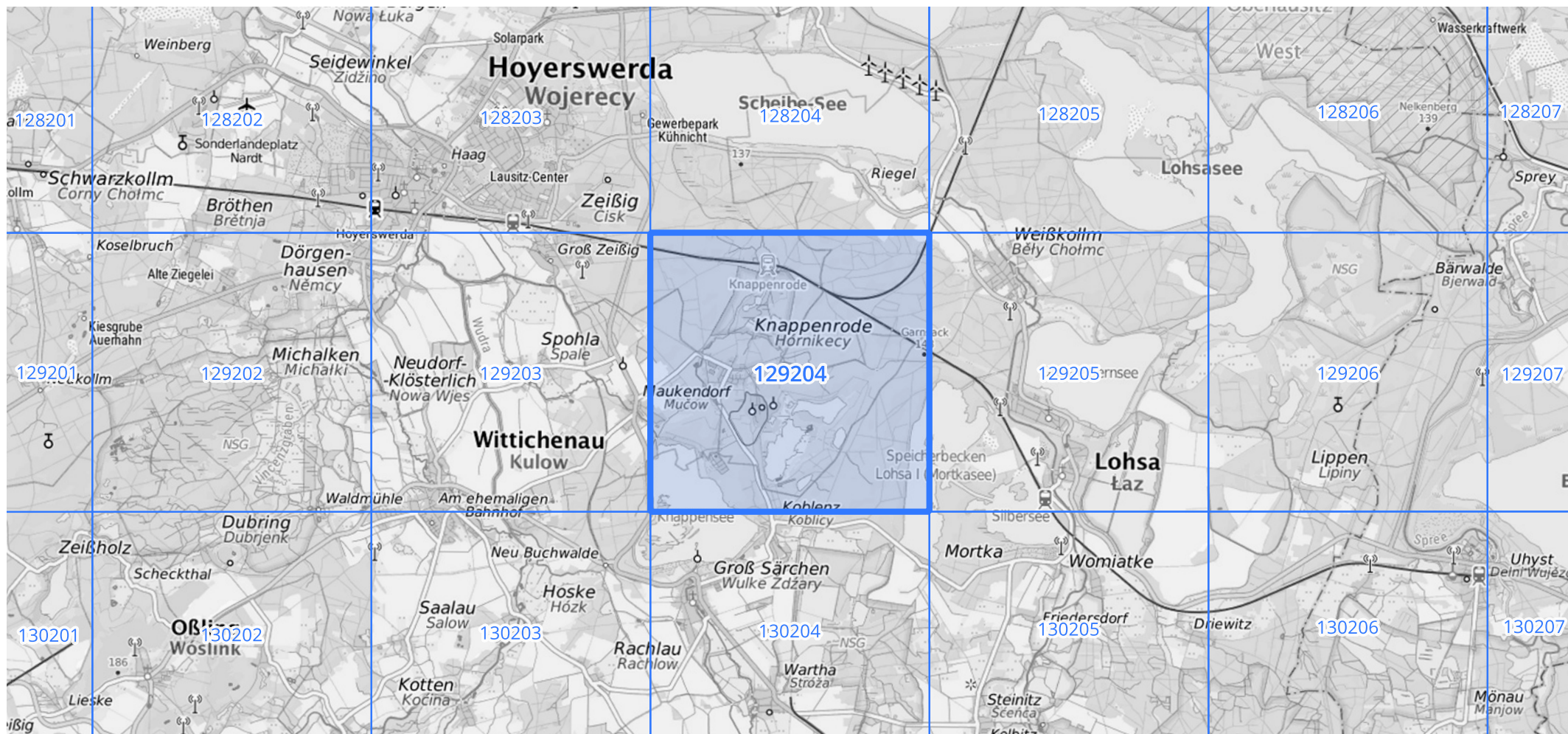
Siehe auch Anwendungshilfe zu KOSTRA-DWD-2020 des Deutschen Wetterdienstes.

# Starkniederschlagshöhen und -spenden gemäß KOSTRA-DWD-2020

## Rasterfeld 129204

(Zeile 129, Spalte 204)

Übersichtskarte des Rasterfeldes 129204, M 1 : 100 000



Quelle Rasterdaten: KOSTRA-DWD-2020 des Deutschen Wetterdienstes, Stand 12/2022.

Seite 3 von 3

Kartendarstellung: © Bundesamt für Kartographie und Geodäsie (2023), Datenquellen: [https://sgx.geodatenzentrum.de/web\\_public/gdz/datenquellen/Datenquellen\\_TopPlusOpen.html](https://sgx.geodatenzentrum.de/web_public/gdz/datenquellen/Datenquellen_TopPlusOpen.html)

Für die Richtigkeit und Aktualität der Angaben wird keine Gewähr übernommen. Erstellt 01/2023.